

1/21

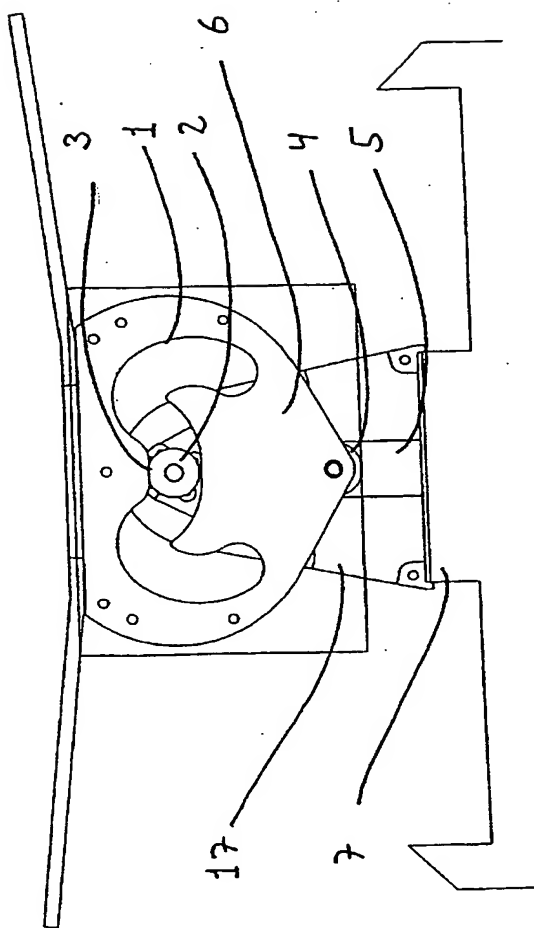


Fig. 1

2/21

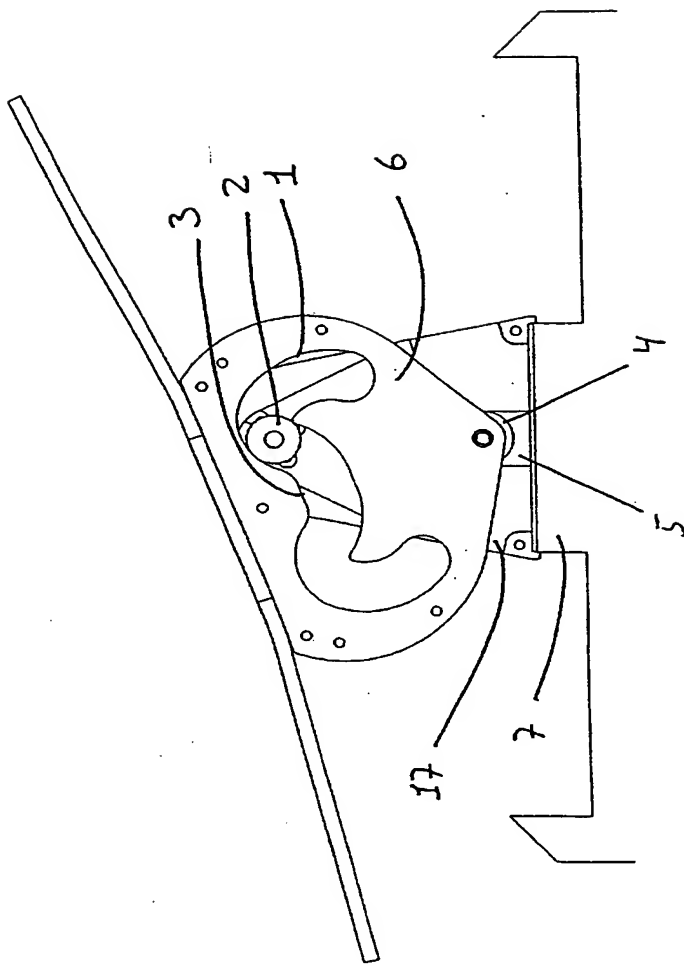


Fig. 2

3/21

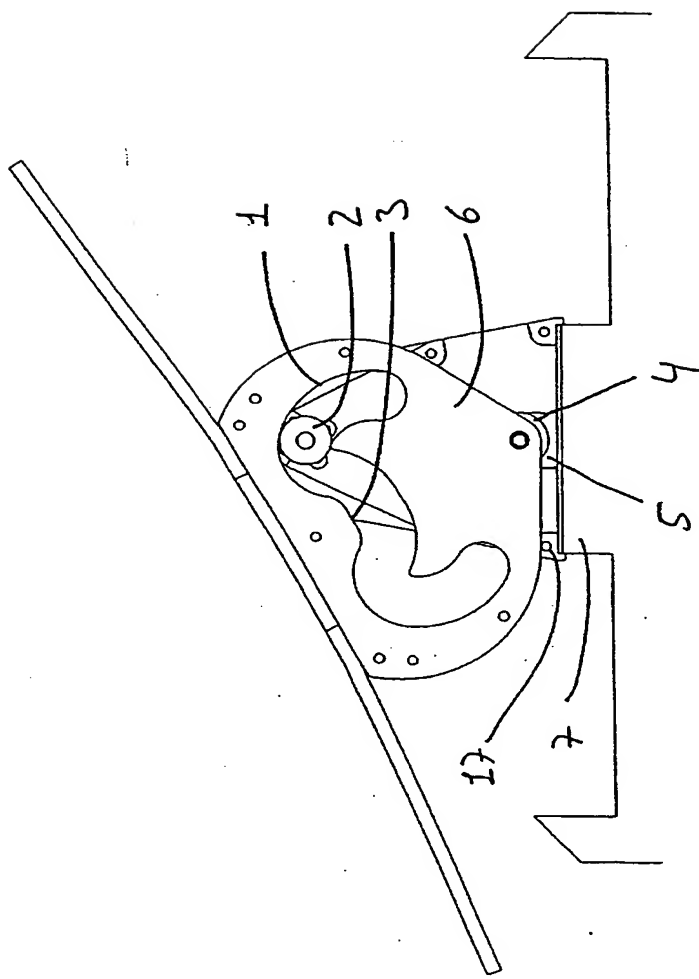


Fig. 3

4/21

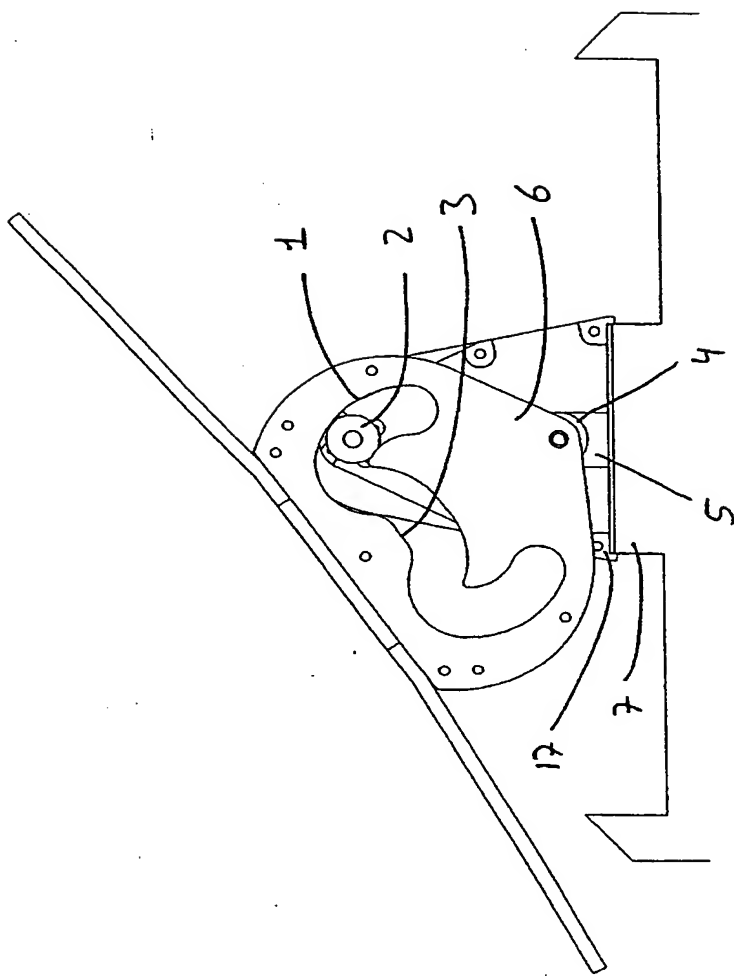


Fig. 4

5/21

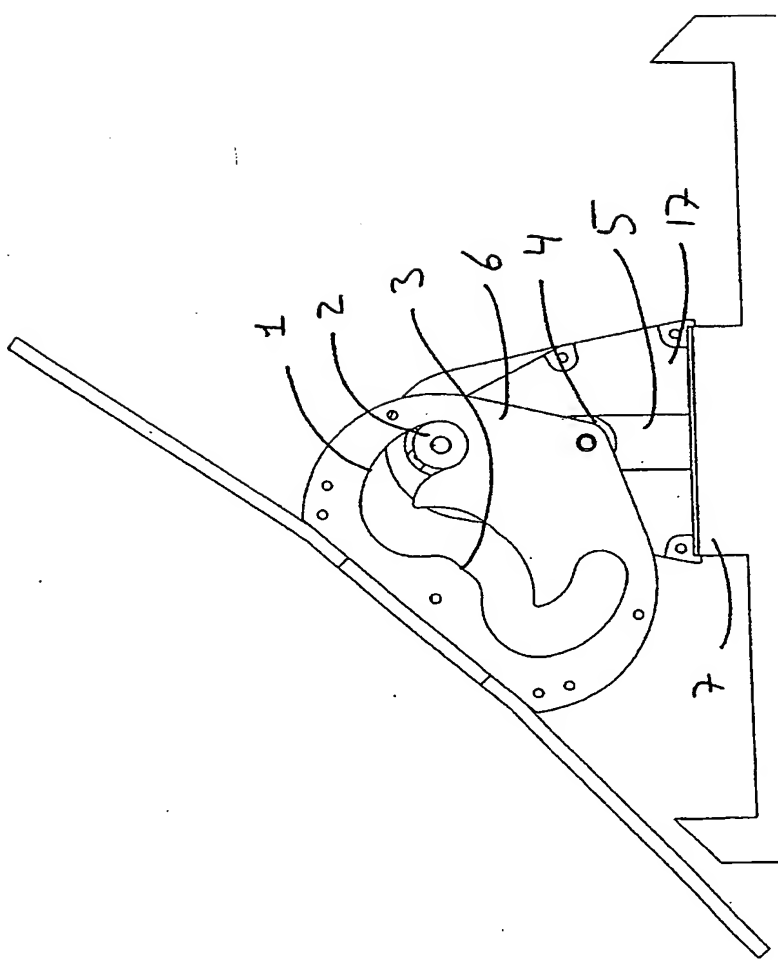


Fig. 5

6/21

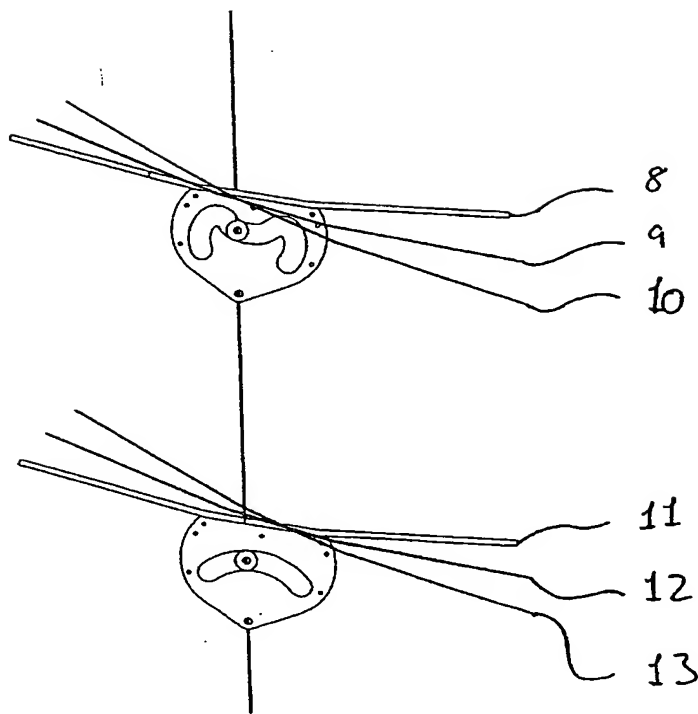


Fig. 6

7/21

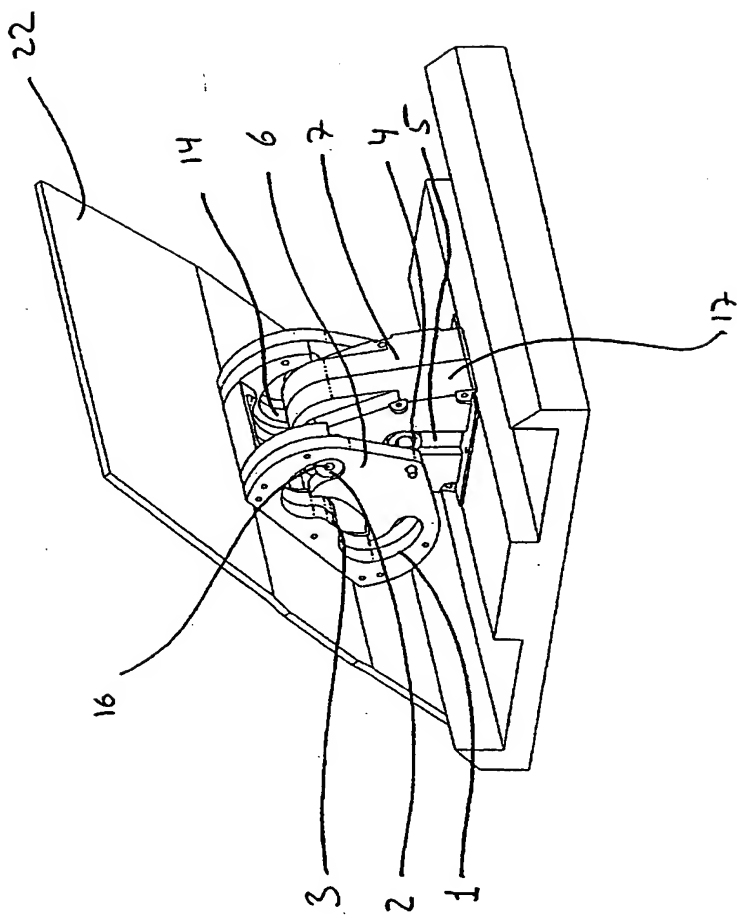


Fig. 7

8/21

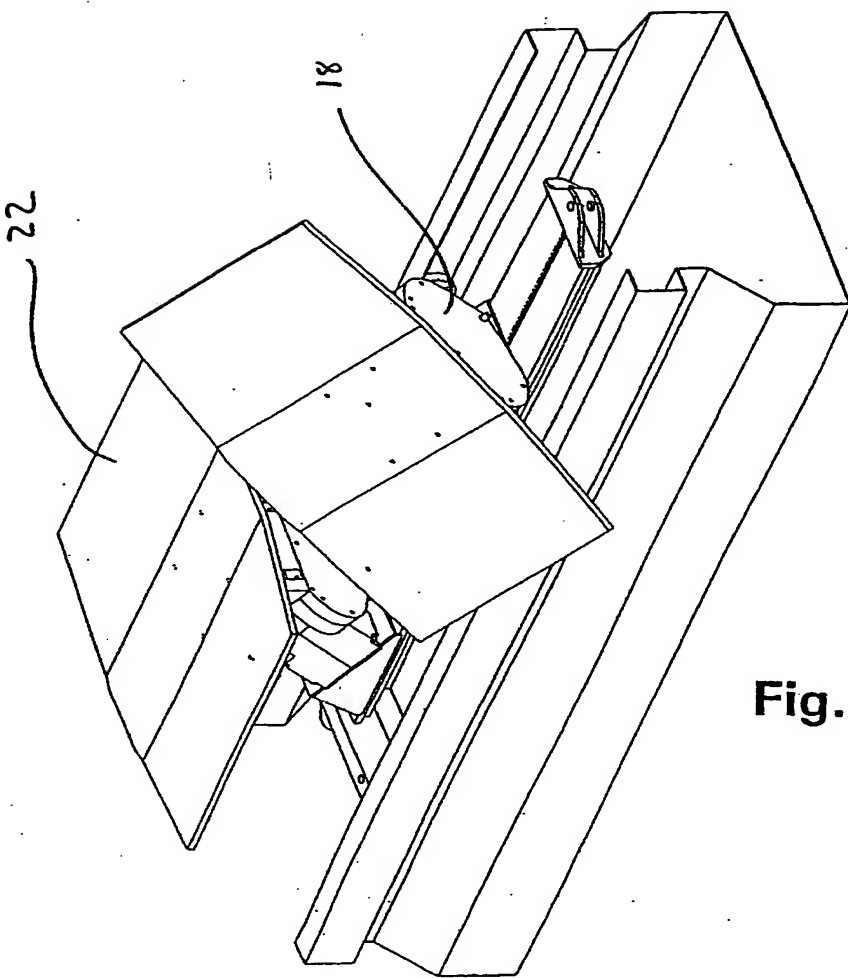


Fig. 8

9/21

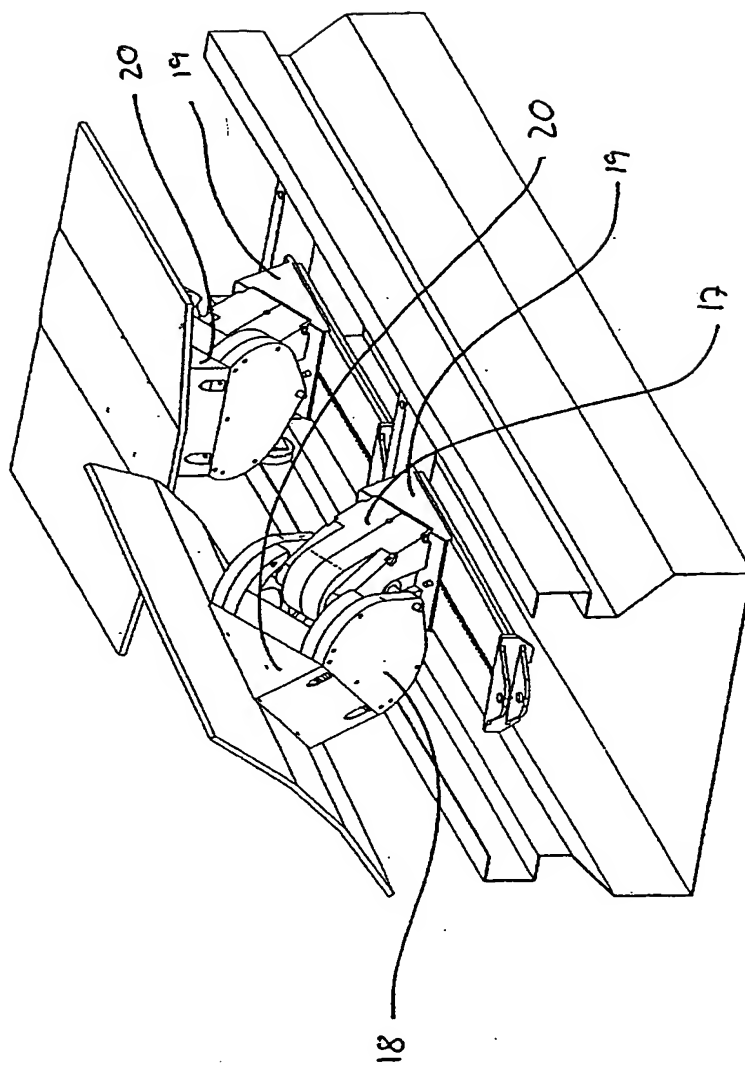


Fig. 9

10/21

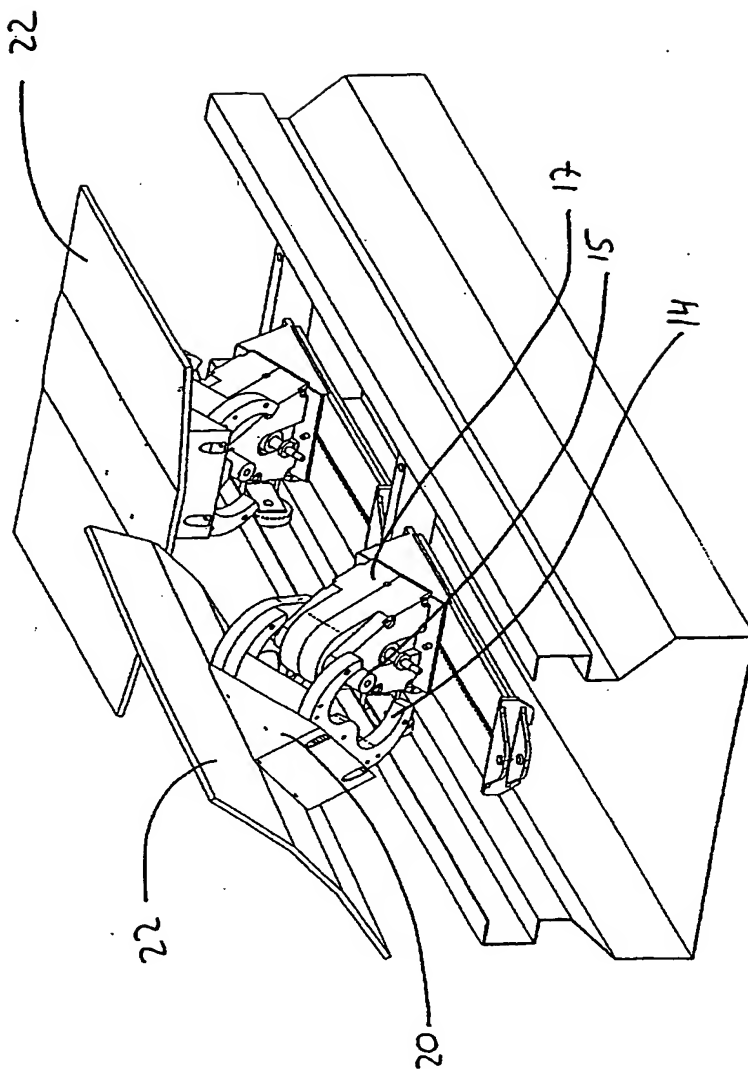


Fig. 10

11/21

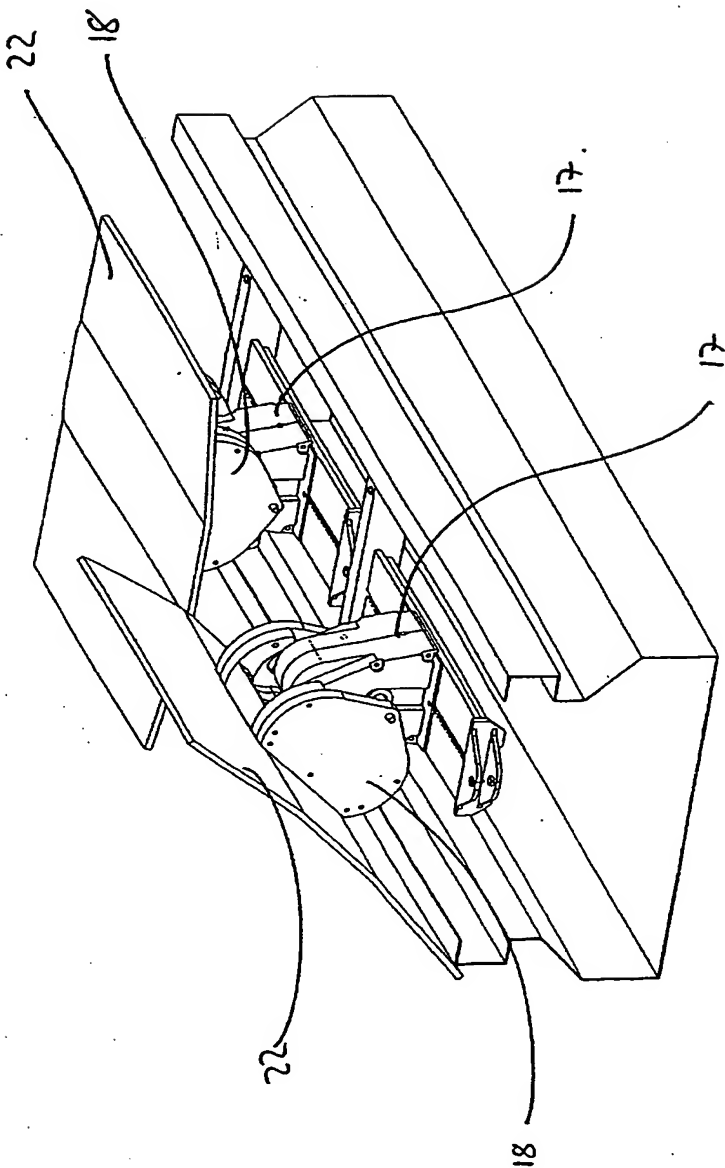


Fig. 1.1

12/21

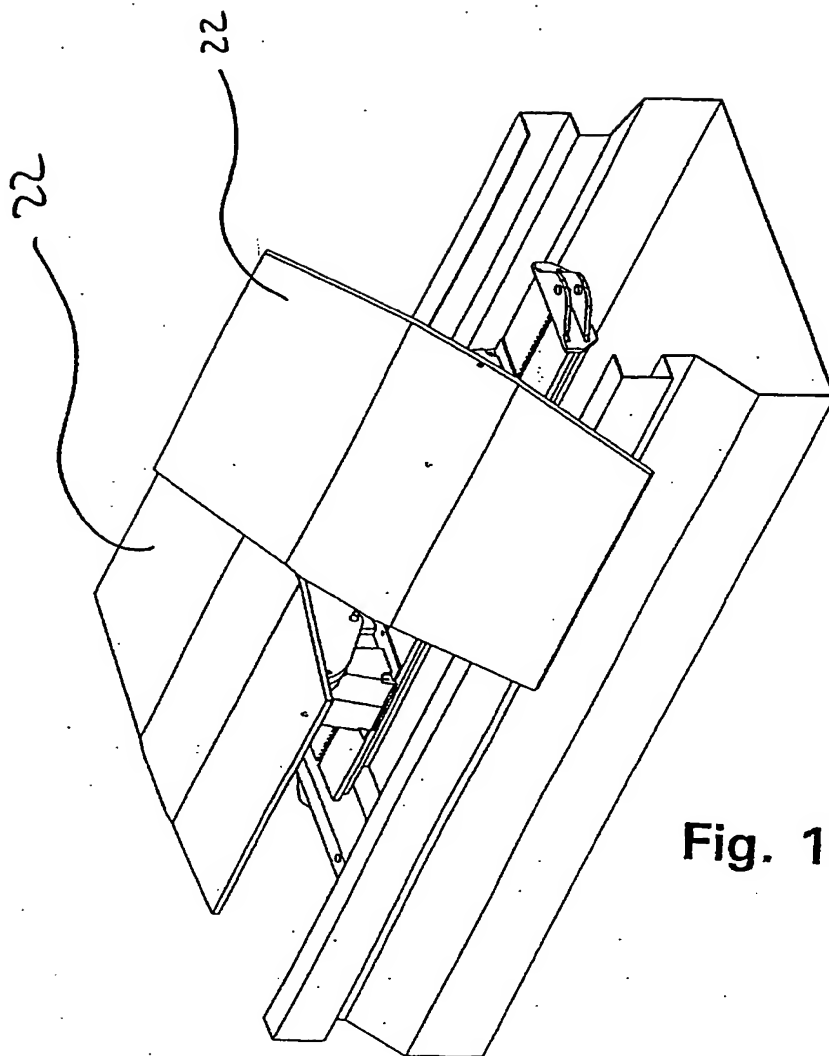


Fig. 12

13/21

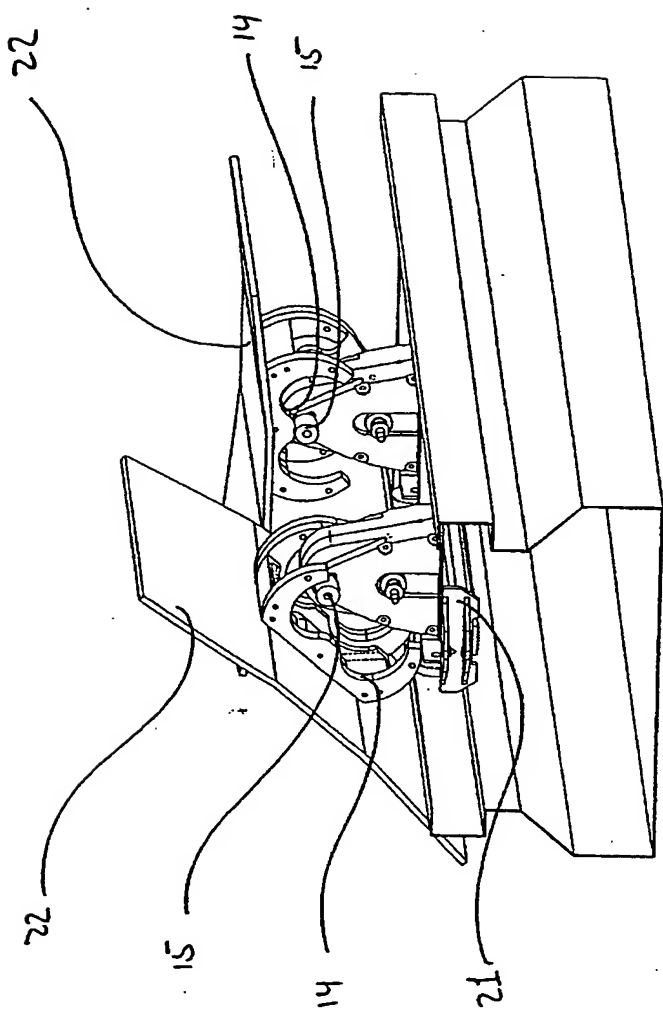


Fig. 13

14/21

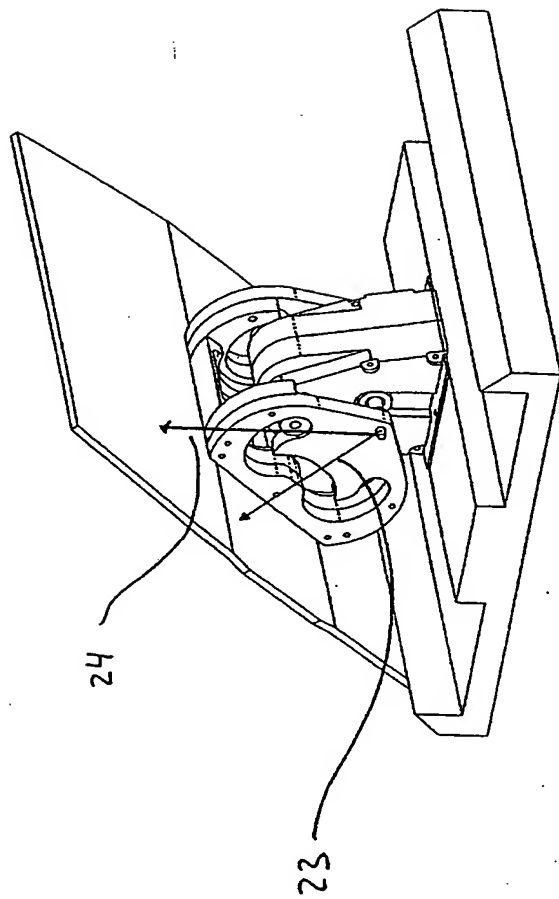


Fig. 14

15/21

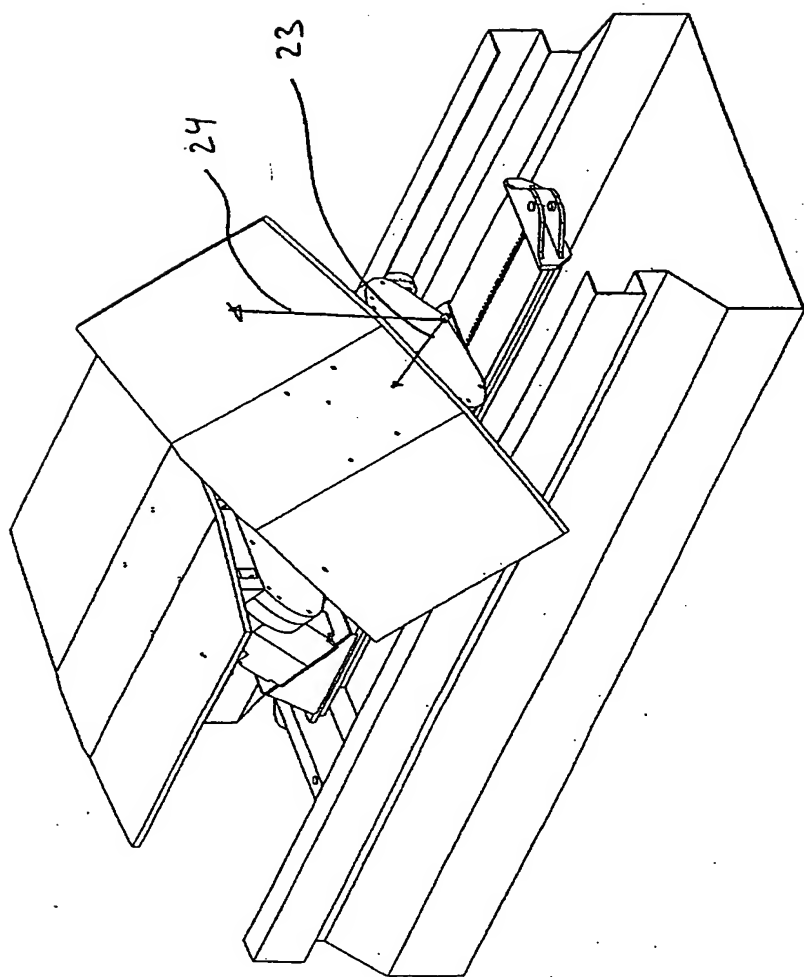


Fig. 15

16/21

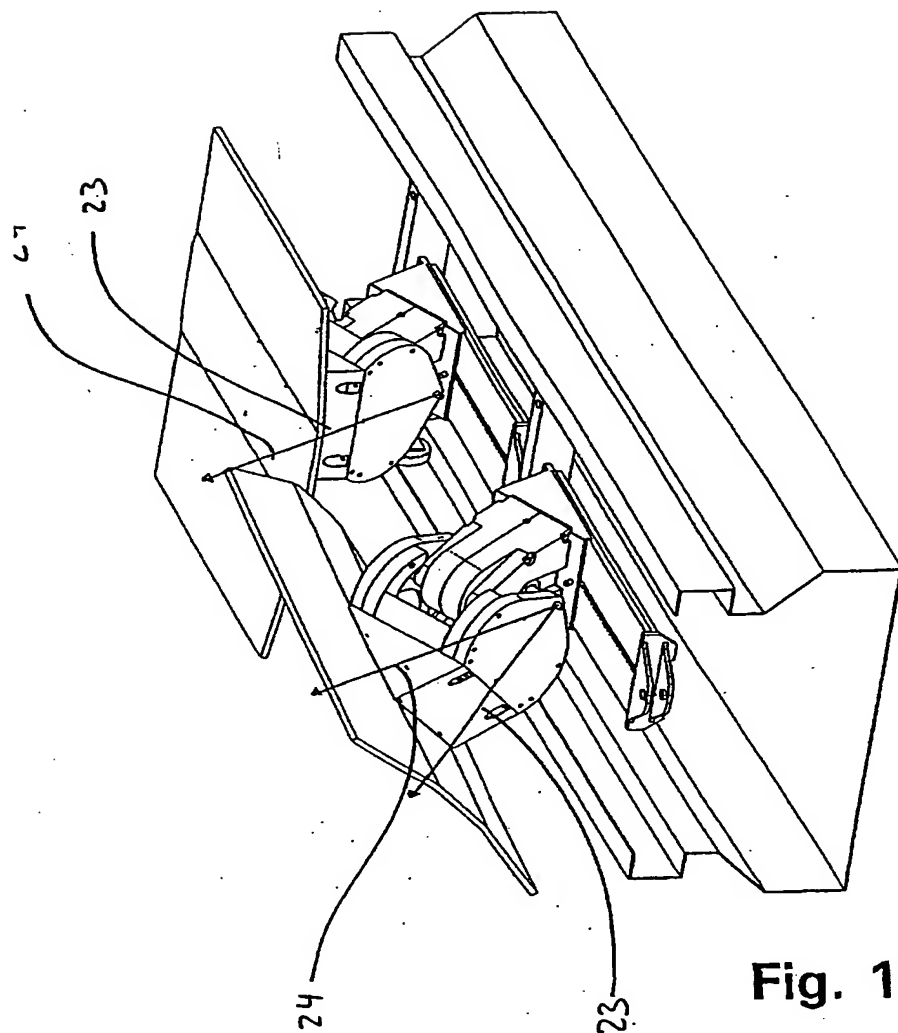


Fig. 16

17/21

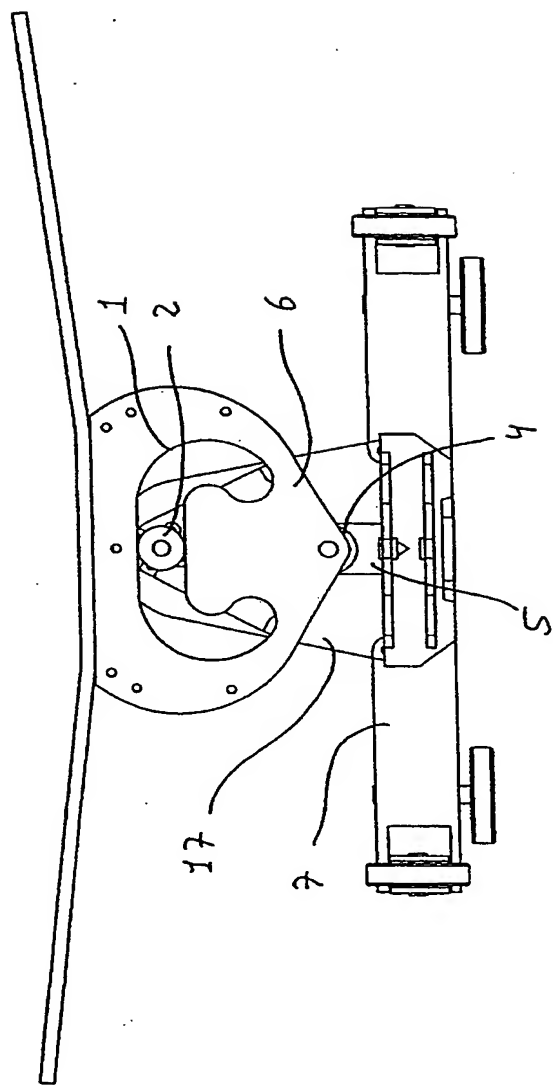


Fig. 17

18/21

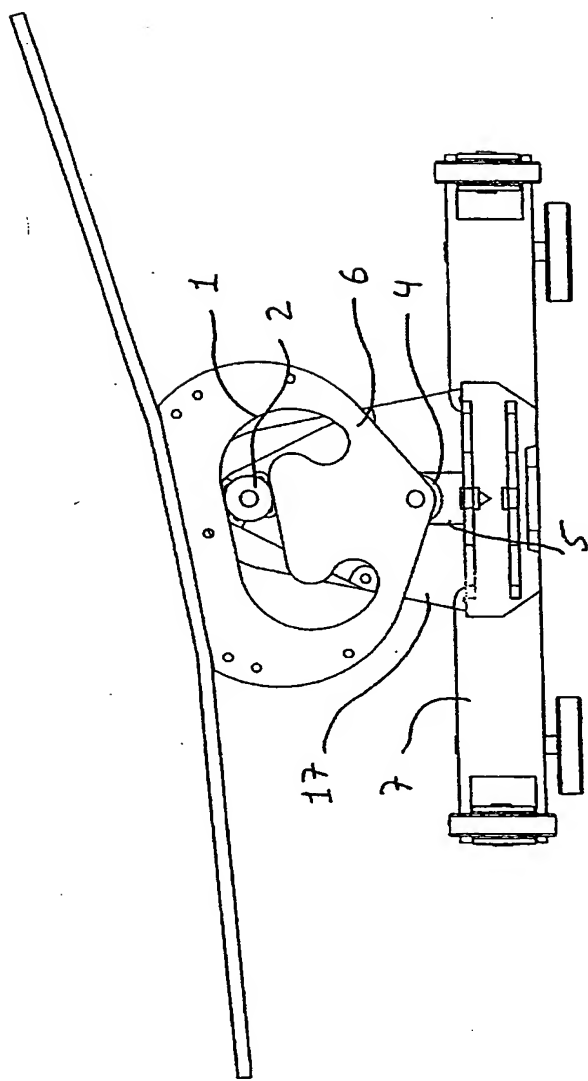


Fig. 18

19/21

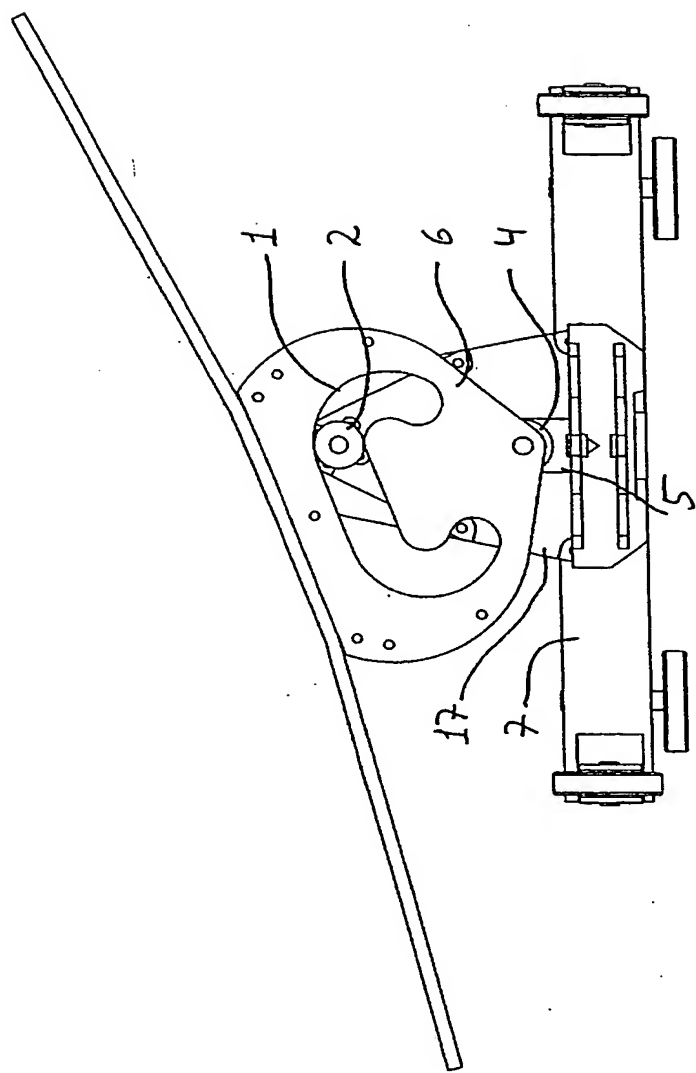


Fig. 19

20/21

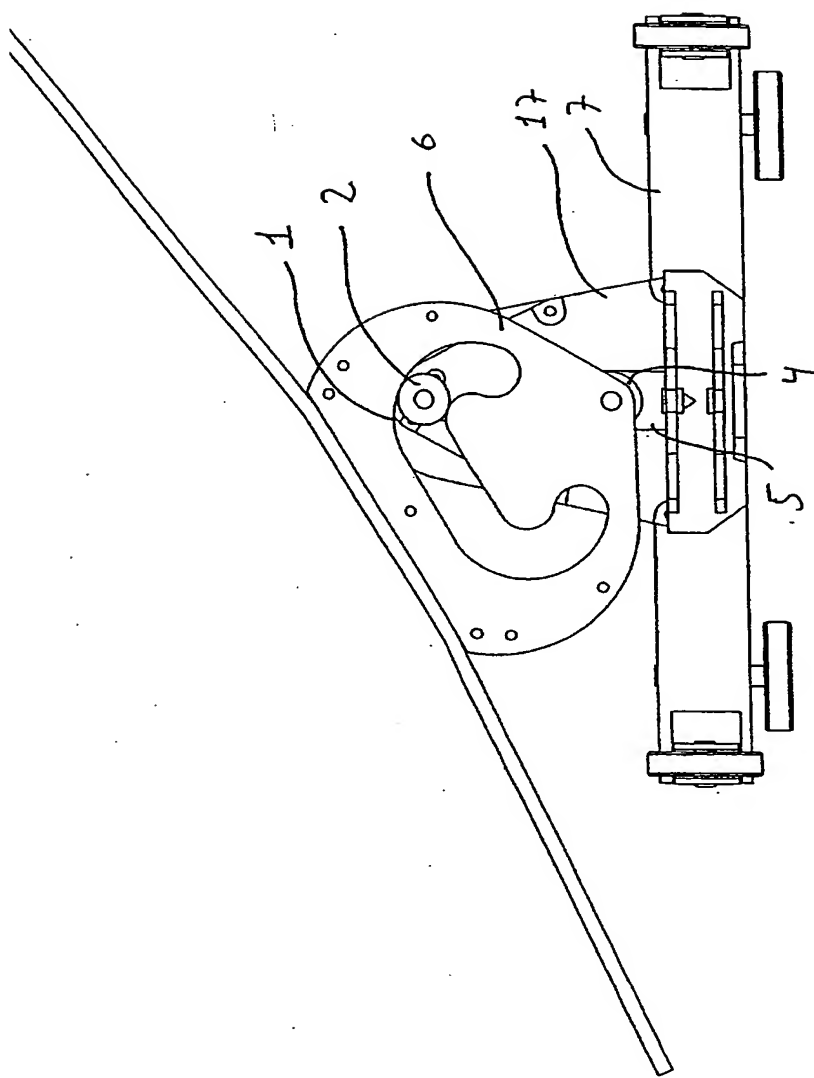


Fig. 20

21/21

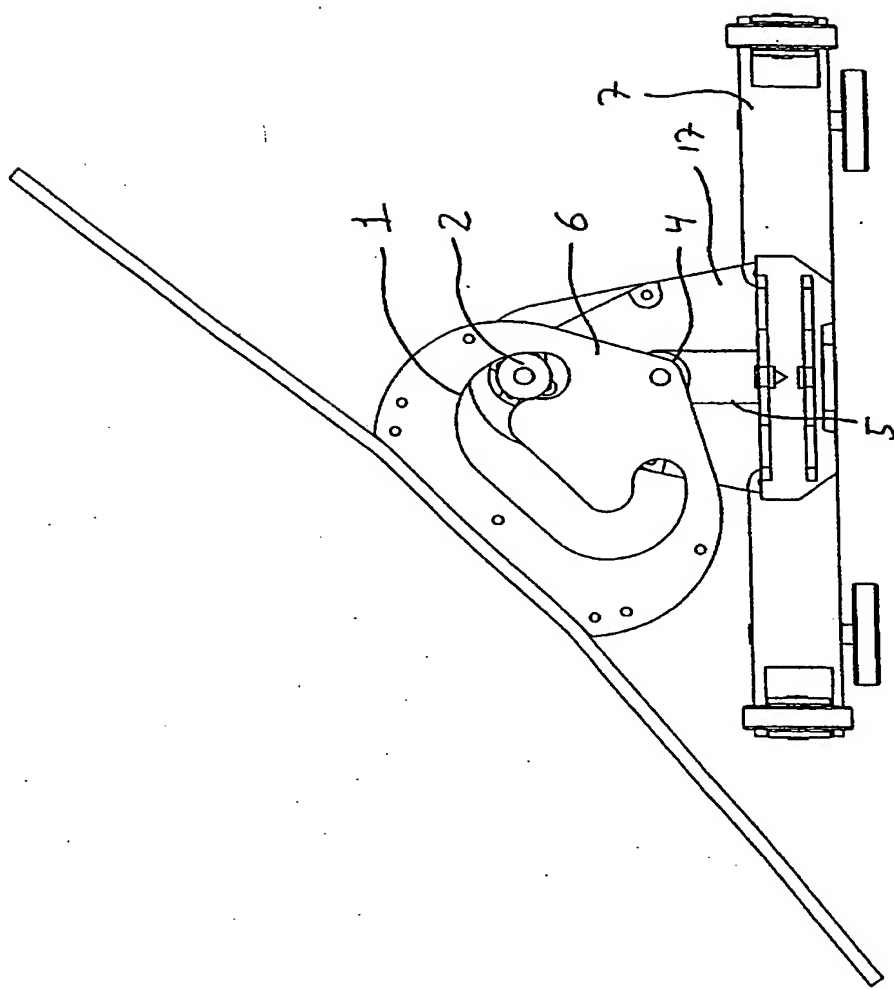


Fig. 21